

湾における潮流解析について

名古屋大学 正夏 足立昭平
学生員 ○ 中島 諭

沿岸水域の汚染防止は、環境保全のもとで重要な課題の一つであり、汚染物質排出の統量規制処置とともに、沿岸の諸計画に対する環境予測の徹底が強く要請されている。環境予測はけつして容易でないが、沿岸水域における汚染物質の動態は、一般に拡散現象よりもむしろ潮流による移流現象に依存する場合が多いものと考えられており、予測の基礎資料として適確な潮流解析が必要である。近年では、電算機による数値実験がこの種の解析にも有力な手段として脚光を浴びつつあるが、それらの結果の驗証については、広範な現地観測が難かしくあって、まだまだ問題を残している。本研究は、現地観測のかわりに水槽実験を数値実験の一つの驗証手段として、従来の平面2次元モデルの数値解析法の適用性を確かめ、数値実験に当つて適切な特性係数を選定する際の基礎資料を得ようとするものである。ここでは、まず手始めに形状の単純な方形水域の潮流について、京大防災研究所で行なわれた植口らの水槽実験¹⁾の結果を数値実験で再現することを試みたところについて報告する。

潮流に関するこれまでの数値実験は、流れの鉛直成分を省略して、圧力を静水圧分布と見なし、諸量を水深に関する平均量でおきかえた平面2次元モデルによつている。すなわち、その基礎方程式は

$$\begin{aligned} \frac{\partial u}{\partial t} + u \frac{\partial u}{\partial x} + v \frac{\partial u}{\partial y} &= - \frac{gH}{U^2} \frac{\partial h}{\partial x} + \frac{\epsilon}{UL} \left(\frac{\partial^2 u}{\partial x^2} + \frac{\partial^2 u}{\partial y^2} \right) - f L u^2, \\ \frac{\partial v}{\partial t} + u \frac{\partial v}{\partial x} + v \frac{\partial v}{\partial y} &= - \frac{gH}{U^2} \frac{\partial h}{\partial y} + \frac{\epsilon}{UL} \left(\frac{\partial^2 v}{\partial x^2} + \frac{\partial^2 v}{\partial y^2} \right) - f L v^2, \\ \frac{\partial h}{\partial t} + \frac{\partial}{\partial x}(uh) + \frac{\partial}{\partial y}(vh) &= 0. \end{aligned}$$

で与えられる。ここで、 L 、 H および U はそれぞれ水平距離、鉛直距離、および水平速度の特性値であり、時間の特性値 T は、 $T = L/U$ で与えられる。 x 、 y および u 、 v 、さらに h はそれぞれ L 、 H 、 U および T を基準値とする無次元変量であり、 f 、 ϵ および g はそれぞれ重力の加速度、水平粘性係数および抵抗係数である。なお、流水抵抗については、流速の2乗に比例するという形式をとる例が多いが、潮流は転流を伴うから、水深に関する平均流速に関する抵抗則はからずも明瞭でない。ここでは、計算上の便宜さの方を重く見て、流水抵抗は流速に比例すると想定した。

模型湾は、図-1に示すような1隅に開口部をもつ正方形水域であり、辺長は開口幅の5倍である。上記の基礎方程式にあらず特性値として、 L に開口幅を、 H を静水時の水深を当て、また $U = \sqrt{gH}$ にとれば、数値実験の特性係数は、 ϵ/UL 、 $\epsilon/2$ 式右辺第2および3項にかかる $\epsilon = \epsilon/UL$ および $\gamma = \gamma L$ の2係数である。これらの ϵ および γ の値の組合せについて

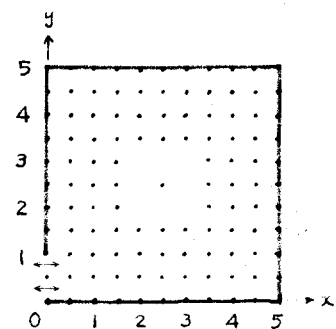


図-1. 模型湾と計算格子

は、第1試行として、桶口の実験値を参考して、 $\epsilon = 4 \times 10^{-5}$, $\gamma = 4 \times 10^{-2}$ を採用した。

初期条件および境界条件はそれぞれ

初期 $t = 0$ で $u = v = 0$, $h = 1$.

$$\text{固定壁} \quad \begin{cases} x=0 \\ 1 \leq y \leq 5 \end{cases}, \quad \begin{cases} x=5 \\ 0 \leq y \leq 5 \end{cases}, \quad \begin{cases} 0 \leq x \leq 5 \\ y=0 \end{cases} \text{ および } \begin{cases} 0 \leq x \leq 5 \\ y=5 \end{cases} \quad \text{において, } u=v=\frac{\partial h}{\partial x}=\frac{\partial h}{\partial y}=0,$$

$$\text{開口部} \quad \begin{cases} x=0 \\ 0 < y < 1 \end{cases} \quad \text{において, } h = a \sin \omega t + 1, \quad \begin{cases} a = [\text{開口部水位の振幅}] / H \\ \omega = (2\pi L / \sqrt{gH}) / [\text{開口部水位周期}] \end{cases}$$

であり、 $a = 5 \times 10^{-2}$, $\omega = 2.35 \times 10^{-2}$ とした。

潮流の数値解法には、差分法による例が多く、1次の前進および後進差分を組合せる手法²⁾, ADI 法³⁾あるいは Lax-Wendroff 法⁴⁾などが用いられているが、ここでは、偏微分方程式の差分法と1次時間内に広範な問題に適用されている L-W 法を忠実に適用し、空間差分 Δx , 時間差分 Δt について2次時間差分式⁵⁾については1次の差分法を採用した。また、計算の安定・収束条件については、よく知られている結果、偏微分方程式の場合の条件から類推して、 $\Delta t / \Delta x$ (or Δy) $\leq 1 / \sqrt{2h_{\max}}$ を用いた。

上記の第1試行の結果を潮汐残差流について、桶口の水槽実験結果と対比すれば、図-2のようである。実線ベクトルが水槽実験、破線ベクトルが数値実験の潮汐残差流の分布状況をあらわしており、環流形成の概況は数値実験によく現われている。しかしながら、図-2では、数値実験の残差流の大きさを水槽実験のそれの 20 倍のスケールで記入しており、残差流の大きさについても、第1試行は水槽実験と大きく食違つてあり、環流の中心もやや開口部側へ寄つてある。一般に、数値実験の特性系数のうち γ の値を小さく設定すれば、流速が増大するから、残差流も大きくなり、環流も変異的、即ちやられきのと推察される。したがつて、第1試行においては、 γ の値の設定が過大であるといつて良いであろう。 γ の値を小さくとつて数値実験は、をおお統中であるが、図-2に見られる数値実験と水槽実験との定性的概要は、一応平面2次元モデルにキビズ、数値実験にも、 γ の特性系数の適切性堅立つ。ナウフ、かなりの結果を期待できることを前提しており、引続き γ および ϵ の種々の値に対する計算を進めて、それらの値の選定に当つての参考資料をとり置かれていいと考えていい。

- 1) 桶口明生: 第22回海岸工学講習会論文集, 1975, pp. 2, 3, 2, 18.
- 2) 伊藤剛: 数値解析の応用と基礎, 南山出版, 1971, pp. 1~28.
- 3) 塚江毅, 他: 海研報告 Vol. 15, No. 8, 1976.
- 4) 和田明: 第22回海岸工学講習会論文集, 1975, pp. 161~166.

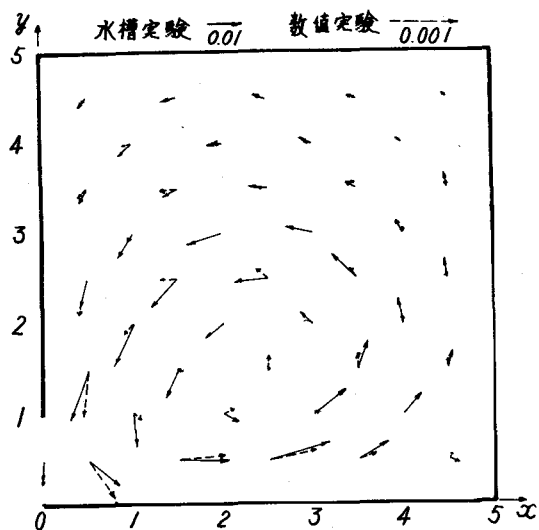


図-2. 水槽実験および数値実験による潮汐残差流の分布